

Динамика волновых флуктуаций в однородном и изотропном конденсате полей Янга-Миллса и космологический фазовый переход в квантовой хромодинамике

Г. Ю. Прохоров ¹

Г. М. Верешков ^{1,3}

Р. С. Пасечник ²

¹Научно-исследовательский институт физики, Южный Федеральный Университет, Ростов-на-Дону, Российская Федерация

²Группа Теоретической Физики Высоких Энергий, Институт Астрономии и Теоретической Физики, Лундский Университет, Лунд, Швеция

³Институт ядерных исследований РАН, 117312 Москва, Российская Федерация

История и актуальность

Исследование КХД вакуума и ЯМ конденсата

- *D. V. Gal'tsov and E. A. Davydov, Int. J. Mod. Phys. Conf. Ser. 14, 316 (2012) [arXiv:1112.2943].*
- *F. R. Urban and A. R. Zhitnitsky, Nucl. Phys. B 835, 135 (2010) [arXiv:0909.2684].*
- *R. Pasechnik, V. Beylin and G. Vereshkov, JCAP 1306, 011 (2013) [arXiv:1302.6456].*
- *R. Pasechnik, V. Beylin and G. Vereshkov, Phys. Rev. D 88, 023509 (2013) [arXiv:1302.5934].*
- *A. Maleknejad and M. M. Sheikh-Jabbari, Phys. Rev. D 84, 043515 (2011) [arXiv:1102.1932].*
- *G. Prokhorov, R. Pasechnik, G. Vereshkov, JMP (2014).*
- *G. Prokhorov, R. Pasechnik, G. Vereshkov, JHEP, 2014, 7, [arXiv:1307.5695].*

Возможные приложения теории ЯМ конденсата

- Мало изученная динамика кварк-глюонной плазмы и КХД конфайнмент.
- Проблема КХД фазового перехода.
- Расширение вселенной в присутствии скалярного поля (“калибровочная инфляция”).
- Тёмная энергия.

Аспекты ЯМ теории

Исследованные:

- Совместная динамика ЯМ конденсата и волновых мод в нулевом, линейном и квазилинейном приближении по волнам.
- Динамика различных ЯМ мод, в частности, продольных колебаний в ЯМ плазме на фоне однородного времени-зависимого конденсата.
- Суперсимметричное расширение.
- Модели с несколькими ЯМ конденсатами и взаимодействие между ними.
- Обобщение на нестационарный пространственный фон.

Частично исследованные:

- Квантовая теория в квазиклассическом приближении.
- Роль ЯМ конденсата в решении проблемы о компенсации энергии вакуума в ранней вселенной.

Краткий обзор теории ЯМ полей

Лагранжев формализм

Лагранжиан:

$$\mathcal{L} = -\frac{1}{4} F_{\mu\nu}^a F_a^{\mu\nu}$$

$$F_{\mu\nu}^a = \partial_\mu A_\nu^a - \partial_\nu A_\mu^a + g e^{abc} A_\mu^b A_\nu^c$$

Уравнения движения:

$$\partial^\mu F_{\mu\nu}^a - g F_{\mu\nu}^b e_{abc} A_c^\mu = 0$$

Гамильтонова калибровка:

$$A_0^a = 0$$

Вакуумное приближение

Введение ЯМ конденсата:

Гамильтонова калибровка \rightarrow $SU(2) \Leftrightarrow SO(3) \rightarrow$ смешанный базис:

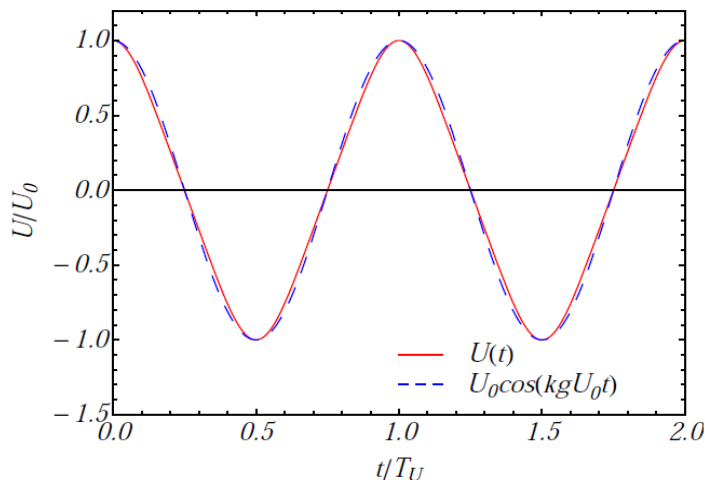
$$e_i^a A_k^a = A_{ik}$$



$$A_{ik} = \delta_{ik}U(t) + \tilde{A}_{ik}$$

Динамика ЯМ конденсата в классической теории

$\partial_0 \partial_0 U + 2g^2 U^3 = 0$ Разрешимо точно в терминах эллиптических функций Якоби

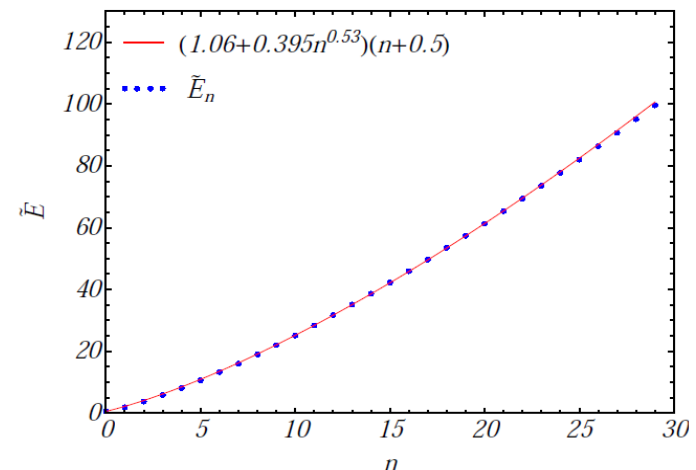


Квазигармонические осцилляции
ЯМ конденсата

Квантовый спектр ЯМ конденсата

Уравнение Шрёдингера для потенциальной ямы 4 степени:

$$\left[\frac{1}{6} \frac{d^2}{dU^2} + \left(E - \frac{3}{2} g^2 U^4 \right) \right] \Psi = 0$$



Энергетические уровни
ЯМ конденсата

Разложение по тензорному базису

$$\tilde{A}_{ik} = \psi_{ik} + e_{ikl}\chi_l$$

$$\chi_l^{\vec{p}} = s_l^\sigma \eta_\sigma^{\vec{p}} + n_l \lambda^{\vec{p}}$$

Такое разложение естественно после спонтанного нарушения симметрии

$$\psi_{ik}^{\vec{p}} = \psi_\lambda^{\vec{p}} Q_{ik}^\lambda + \varphi_\sigma^{\vec{p}} (n_i s_k^\sigma + n_k s_i^\sigma) + (\delta_{ik} - n_i n_k) \Phi^{\vec{p}} + n_i n_k \Lambda^{\vec{p}}$$

Свойства тензоров

$$Q_{ik}^\lambda = Q_{ki}^\lambda, \quad Q_{ii}^\lambda = 0, \quad p_i Q_{ik}^\lambda = 0, \quad p_k s_k = 0$$

В специально выбранной системе отсчёта

$$Q_{ij}^{\lambda=1} = \begin{pmatrix} 1 & 0 & 0 \\ 0 & -1 & 0 \\ 0 & 0 & 0 \end{pmatrix}, \quad Q_{ij}^{\lambda=2} = \begin{pmatrix} 0 & 1 & 0 \\ 1 & 0 & 0 \\ 0 & 0 & 0 \end{pmatrix}, \quad n_i = (0, 0, 1)$$

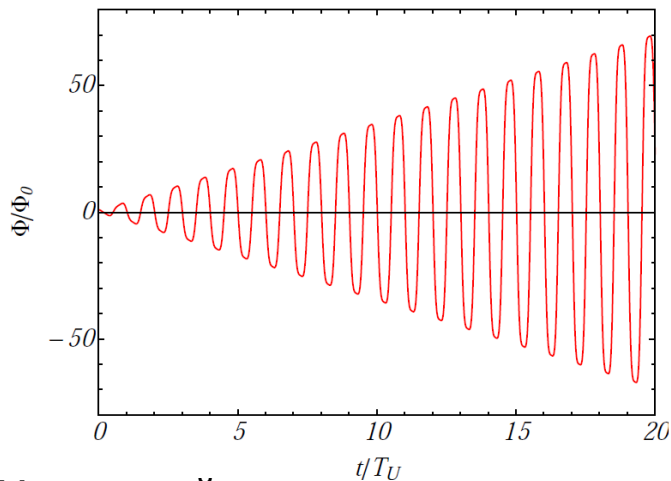
Динамика волн в линейном приближении

Численный анализ:

Для скалярных мод Φ и Λ :

$$\partial_0 \partial_0 \Lambda + 2igp \lambda U + 2g^2 U^2 (2\Phi + \Lambda) = 0$$

$$\partial_0 \partial_0 \Phi + p^2 \Phi + 2igp \lambda U + 2g^2 U^2 (2\Phi + \Lambda) = 0$$



Монотонный рост амплитуды осцилляций для моды Φ . Случай малых импульсов.

Аналитический подход:

Для моды ψ :

$$\partial_0 \partial_0 \psi_\lambda + p^2 \psi_\lambda + igp U Q^{\lambda\gamma} \psi_\gamma = 0$$

Описывает взаимодействие с ЯМ конденсатом

$$U \simeq U_0 \cos(\omega t + \phi_0)$$

Уравнения Матьё

$$\partial_0 \partial_0 \psi'_1 + (p^2 + 2gpU) \psi'_1 = 0$$

$$\partial_0 \partial_0 \psi'_2 + (p^2 - 2gpU) \psi'_2 = 0$$

$0.15gU_0 \lesssim p \lesssim 4.55gU_0$
параметрический резонанс

Рост амплитуды волновых осцилляций – рождение частиц

Продольные степени свободы

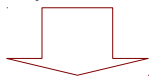
В системе с ЯМ конденсатом происходит возбуждение продольных колебаний в ЯМ плазме

1. Анализ уравнений связи:

Без ЯМ конденсата

$$ip\partial_0\Lambda = 0$$

$$ip\partial_0\phi_\gamma + ip e^{\gamma\sigma}\partial_0\eta_\sigma = 0$$



$$\Lambda = 0$$

$$\eta_\alpha = e^{\alpha\beta}\phi_\beta$$

С ЯМ конденсатом

Дополнительные члены

$$ip\partial_0\Lambda - (2g\lambda\partial_0U + 2g\partial_0\lambda U) = 0$$

$$ip\partial_0\phi_\gamma + ip e^{\gamma\sigma}\partial_0\eta_\sigma - 2g\eta_\gamma\partial_0U + 2g\partial_0\eta_\gamma U = 0$$

2. Каноническое квантование продольных мод.

3. Численное моделирование динамики продольных мод.

Обратное влияние волновых мод на ЯМ конденсат

Квазилинейное приближение:

Уравнение для “свободного” ЯМ конденсата

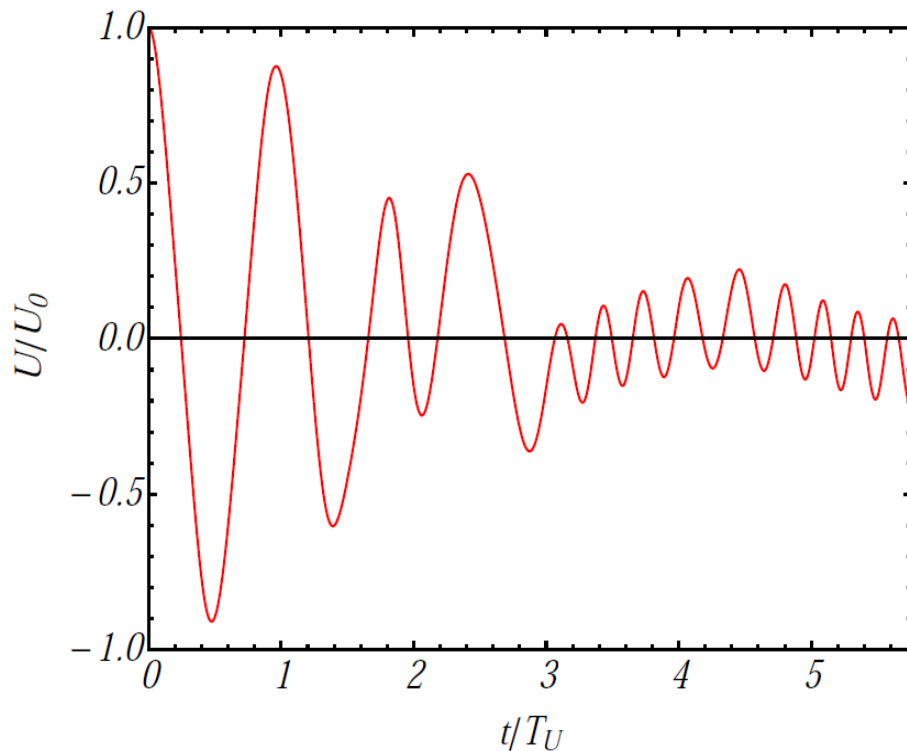
обратное влияние

$$\begin{aligned}
 & \left(\partial_0 \partial_0 U + 2g^2 U^3 \right) + \frac{g^2}{6} U \sum_{\vec{p}} \left\langle 2\eta_\sigma \eta_\sigma^+ + 2\lambda \lambda^+ + 4\Phi \Phi^+ + \Lambda \Lambda^+ + 2\Phi \Lambda^+ + \right. \\
 & 2\Lambda \Phi^+ + 2\eta_\sigma^+ \eta_\sigma + 2\lambda^+ \lambda + 4\Phi^+ \Phi + \Lambda^+ \Lambda + 2\Phi^+ \Lambda + 2\Lambda^+ \Phi \left. \right\rangle + \\
 & \frac{ig}{12} \sum_{\vec{p}} p \left\langle 2\Lambda^+ \lambda - 2\Lambda \lambda^+ + 2\Phi^+ \lambda - 2\Phi \lambda^+ + 2\lambda \Phi^+ - 2\lambda^+ \Phi - \right. \\
 & Q^{\lambda\sigma} (\psi_\lambda \psi_\sigma^+ - \psi_\lambda^+ \psi_\sigma) - e^{\sigma\gamma} (\phi_\sigma \phi_\gamma^+ - \phi_\sigma^+ \phi_\gamma) + \phi_\sigma^+ \eta_\sigma - \phi_\sigma \eta_\sigma^+ + \\
 & \left. \eta_\sigma^+ \phi_\sigma - \eta_\sigma \phi_\sigma^+ + e^{\sigma\gamma} (\eta_\sigma \eta_\gamma^+ - \eta_\sigma^+ \eta_\gamma) \right\rangle = 0.
 \end{aligned}$$

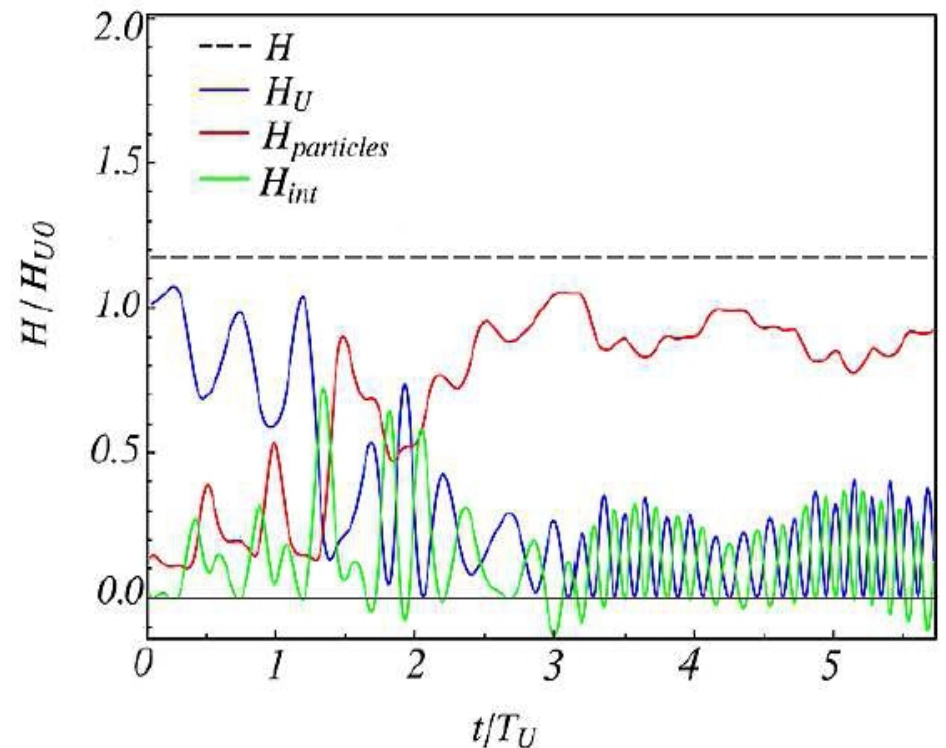
Энергетический баланс между ЯМ конденсатом и волнами

Основной результат:

Существование эффекта перекачки энергии из конденсата в частицы.

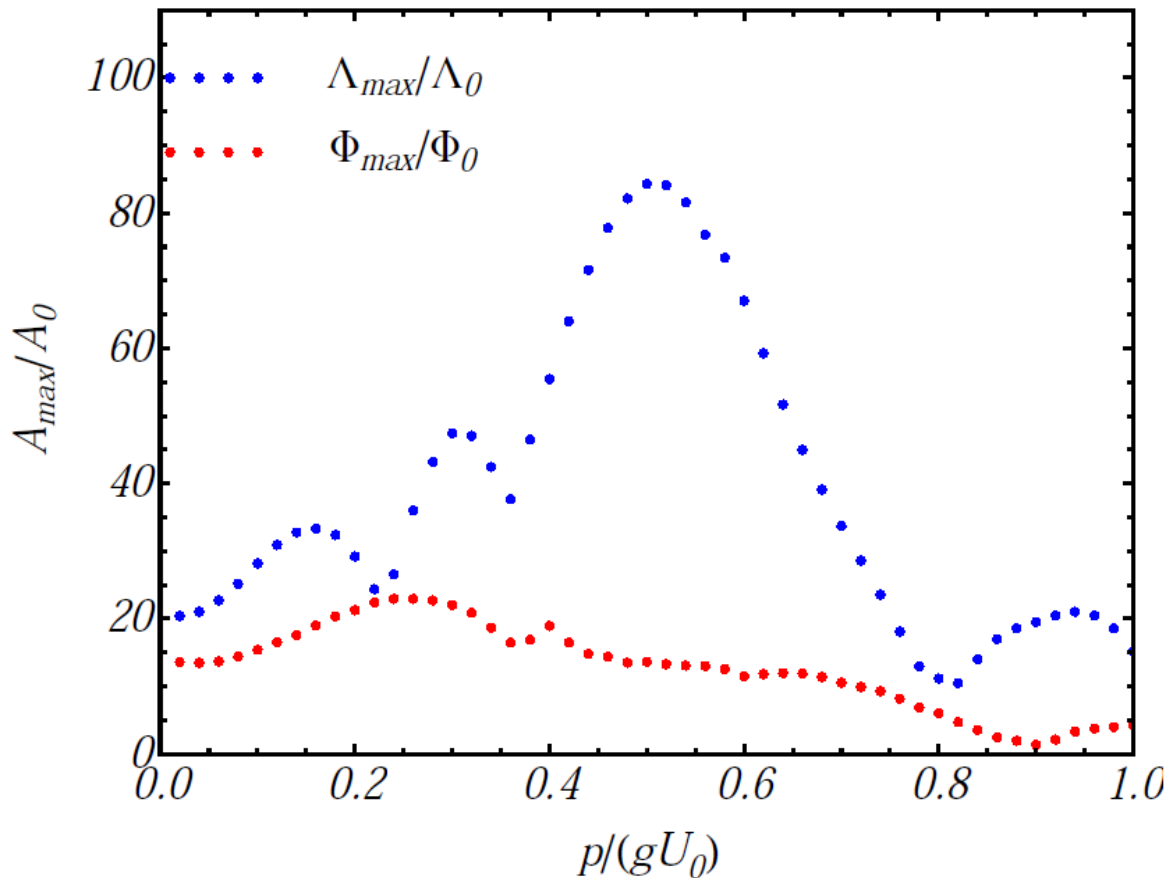


Изменение амплитуды колебаний ЯМ конденсата со временем.



Энергетическая эволюция в системе ЯМ конденсата и волн.

Перераспределение энергии в спектре волновых возмущений



Φ – поперечная

Λ – продольная

Следствие:

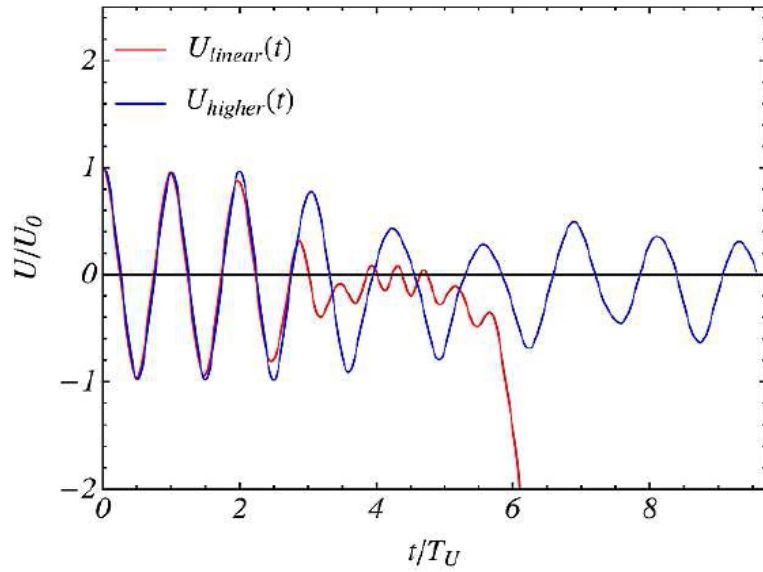
Взаимодействие с ЯМ конденсатом приводит преимущественно к рождению частиц с импульсами меньшими масштаба осцилляций конденсата.

Распределение амплитуд в импульсном спектре волновых мод.

Члены высших порядков по волновым модам

Можно ли наблюдать эффект перекачки энергии в теории с высшими порядками?

$$\begin{aligned} & \partial_0 \partial_0 \tilde{A}_{lk} + p^2 \tilde{A}_{lk} - p^2 n_i n_k \tilde{A}_{li} + igp e_{lmk} n_i \tilde{A}_{mi} U + \\ & 2igp e_{lip} n_i \partial_i \tilde{A}_{pk} U + igp e_{lmi} n_k \tilde{A}_{mi} U - g^2 \tilde{A}_{kl} U^2 + \\ & g^2 \tilde{A}_{lk} U^2 + 2g^2 \delta_{lk} \tilde{A}_{ii} U^2 - \frac{g^2}{4} \left[\tilde{A}_{li} \sum_{\vec{p}} \langle \tilde{A}_{pi} \tilde{A}_{pk}^+ + \tilde{A}_{pi}^+ \tilde{A}_{pk} \rangle + \right. \\ & \tilde{A}_{pk} \sum_{\vec{p}} \langle \tilde{A}_{li} \tilde{A}_{pi}^+ + \tilde{A}_{li}^+ \tilde{A}_{pi} \rangle + \tilde{A}_{pi} \sum_{\vec{p}} \langle \tilde{A}_{li} \tilde{A}_{pk}^+ + \tilde{A}_{li}^+ \tilde{A}_{pk} \rangle - \\ & \left. 2\tilde{A}_{pi} \sum_{\vec{p}} \langle \tilde{A}_{pi} \tilde{A}_{lk}^+ + \tilde{A}_{pi}^+ \tilde{A}_{lk} \rangle - \tilde{A}_{lk} \sum_{\vec{p}} \langle \tilde{A}_{pi} \tilde{A}_{pi}^+ + \tilde{A}_{pi}^+ \tilde{A}_{pi} \rangle \right] + \dots = 0. \end{aligned}$$



Конституэнтная масса появляется в результате самодействия в ЯМ плазме

Временная эволюция ЯМ конденсата в квазилинейном приближении (красный график) и в модели, учитывающей члены высших порядков (синий график).

Учёт членов высших порядков стабилизирует и улучшает результаты квазилинейной теории.

Уравнения для конденсата и волн в приближении g^2

$$\tilde{A}_{ai} = \tilde{A}_{ai}^r + \tilde{A}_{ai}^v$$



Уравнение для ЯМ конденсата в приближении g^2 :

$$\partial_0 \partial_0 U + 2g^2 U^3 + \left[\frac{1}{3} \int_{t_0}^t dt' U(t') M_{aabb}^0(t, t') \right] + \frac{g^2}{36} U \sum_{\vec{p}} \langle \tilde{A}_{ck}^{r\vec{p}\dagger} \tilde{A}_{ck}^{r\vec{p}} + \tilde{A}_{ck}^{r\vec{p}} \tilde{A}_{ck}^{r\vec{p}\dagger} + 2\tilde{A}_{aa}^{r\vec{p}\dagger} \tilde{A}_{ii}^{r\vec{p}} + 2\tilde{A}_{aa}^{r\vec{p}} \tilde{A}_{ii}^{r\vec{p}\dagger} - \tilde{A}_{ck}^{r\vec{p}\dagger} \tilde{A}_{kc}^{r\vec{p}} - \tilde{A}_{ck}^{r\vec{p}} \tilde{A}_{kc}^{r\vec{p}\dagger} \rangle = 0$$

Уравнение для ЯМ волн в приближении g^2 :

$$\partial_0 \partial_0 \tilde{A}_{ai}^{r\vec{q}} + q^2 \tilde{A}_{ai}^{r\vec{q}} - q_i q_k \tilde{A}_{ak}^{r\vec{q}} + \int_{t_0}^t \tilde{A}_{c'i'}^{r\vec{q}}(t') M_{aic'i'}^{\vec{q}}(t, t') dt' + \tilde{A}_{cl}^{r\vec{q}}(t) \int_{t_0}^t dt' \sum_{\vec{p}} N_{aicl}^{\vec{p}\vec{q}}(t, t') + U(t) \int_{t_0}^t dt' U(t') P_{aib'k'}^{\vec{q}} \tilde{A}_{b'k'}^{r\vec{q}}(t')$$

$$+ \frac{g^2}{3} U^2 (\tilde{A}_{ai}^{r\vec{q}} - \tilde{A}_{ia}^{r\vec{q}} + 2\delta_{ai} \tilde{A}_{kk}^{r\vec{q}}) + g^2 (2\tilde{A}_{bk}^{r\vec{q}} m_{ai}^{bk} + \tilde{A}_{ai}^{r\vec{q}} m_{bk}^{bk} - \tilde{A}_{bk}^{r\vec{q}} m_{bi}^{ak} - \tilde{A}_{ak}^{r\vec{q}} m_{bi}^{bk} - \tilde{A}_{bi}^{r\vec{q}} m_{ak}^{bk}) = 0$$

времени-нелокальные члены

Члены третьей степени приводят к времени-нелокальному взаимодействию

N=4 суперсимметричное расширение

Лагранжиан:

Векторные поля

Скалярные, псевдо-скалярные поля
и поля фермионов

$$\mathcal{L}_{\text{SUSY}} = \left[-\frac{1}{4} F_{\mu\nu}^a F_a^{\mu\nu} + \frac{i}{2} \bar{\lambda}_{k'}^a \gamma^\mu D_\mu \lambda_{k'}^a + \frac{1}{2} (D_\mu C_{(i)}^a)^2 + \frac{1}{2} (D_\mu B_{(i)}^a)^2 \right] -$$

Некалибровочное самодействие

$$\left\{ \begin{aligned} & \frac{g}{2} \epsilon^{abc} \bar{\lambda}_{k'}^a (\alpha_{k'l'}^{(i)} C_{(i)}^b + \beta_{k'l'}^{(i)} \gamma_5 B_{(i)}^b) \lambda_{l'}^c + \\ & \frac{g^2}{4} \left[(\epsilon^{abc} C_{(i)}^b C_{(j)}^c)^2 + (\epsilon^{abc} B_{(i)}^b B_{(j)}^c)^2 + (\epsilon^{abc} C_{(i)}^b B_{(j)}^c)^2 \right]. \end{aligned} \right.$$

Уравнения движения:

Взаимодействие с ЯМ конденсатом

$$\begin{aligned} \partial_0 \partial_0 K_{(i)} + p^2 K_{(i)} + 2g^2 U^2 K_{(i)} &= 0, \\ \partial_0 \partial_0 M_{(i)\alpha} + p^2 M_{(i)\alpha} + 2igp U e^{\alpha\beta} M_\beta + 2g^2 U^2 M_{(i)\alpha} &= 0, \\ \gamma_0 \partial_0 \vartheta^{k'} + ip n_j \gamma_j \vartheta^{k'} - g U e_{ikl} \gamma_k n_i s_l^\alpha \zeta_\alpha^{k'} &= 0, \\ \gamma_0 \partial_0 \zeta_\alpha^{k'} + ip n_j \gamma_j \zeta_\alpha^{k'} - g U e_{ikl} \gamma_k s_i^\alpha s_l^\beta \zeta_\beta^{k'} - g U e_{ikl} \gamma_k n_l s_i^\alpha \vartheta^{k'} &= 0. \end{aligned}$$

Каноническое квантование волновых ЯМ мод

(анти-)Коммутационные соотношения:

$$P_{\vartheta}^{k'} = \frac{i}{4} \bar{\vartheta}^{k'} \gamma_0, \quad [\vartheta^{l'}, P_{\vartheta}^{k'}]_+ = i \delta_{l'k'}$$

$$P_{\Phi} = \frac{1}{2} \partial_0 \Phi^+, \quad [P_{\Phi}, \Phi]_- = -i$$

Квазиклассические уравнения:

$$\partial_0 \vartheta^{k'} = i[\mathcal{H}, \vartheta^{k'}]_- \iff \partial_0 P_{\vartheta}^{k'} = i[\mathcal{H}, P_{\vartheta}^{k'}]_-$$

$$\gamma_0 \partial_0 \vartheta^{k'} + ip n_j \gamma_j \vartheta^{k'} - g U e_{ikl} \gamma_k n_i s_l^\alpha \zeta_\alpha^{k'} = 0$$

формально совпадают с классическими уравнениями

SU(4) модель с двумя конденсатами

Генераторы группы SU(4):

2 SU(2) подгруппы

$$\left\{ \begin{array}{l} \lambda^1 = \begin{pmatrix} 0 & 1 & 0 & 0 \\ 1 & 0 & 0 & 0 \\ 0 & 0 & 0 & 0 \\ 0 & 0 & 0 & 0 \end{pmatrix}, \lambda^2 = \begin{pmatrix} 0 & -i & 0 & 0 \\ i & 0 & 0 & 0 \\ 0 & 0 & 0 & 0 \\ 0 & 0 & 0 & 0 \end{pmatrix}, \lambda^3 = \begin{pmatrix} 1 & 0 & 0 & 0 \\ 0 & -1 & 0 & 0 \\ 0 & 0 & 0 & 0 \\ 0 & 0 & 0 & 0 \end{pmatrix} \\ \lambda^4 = \begin{pmatrix} 0 & 0 & 0 & 0 \\ 0 & 0 & 0 & 0 \\ 0 & 0 & 0 & 1 \\ 0 & 0 & 1 & 0 \end{pmatrix}, \lambda^5 = \begin{pmatrix} 0 & 0 & 0 & 0 \\ 0 & 0 & 0 & 0 \\ 0 & 0 & 0 & -i \\ 0 & 0 & i & 0 \end{pmatrix}, \lambda^6 = \begin{pmatrix} 0 & 0 & 0 & 0 \\ 0 & 0 & 0 & 0 \\ 0 & 0 & 1 & 0 \\ 0 & 0 & 0 & -1 \end{pmatrix} \end{array} \right.$$

SU(2) шаровой тензор в смешанном лоренц-изотопическом пространстве

$$\delta_{2i}^a = \begin{pmatrix} 0 & 0 & 0 \\ 0 & 0 & 0 \\ 0 & 0 & 0 \\ 1 & 0 & 0 \\ 0 & 1 & 0 \\ 0 & 0 & 1 \\ \cdot & \cdot & \cdot \\ 0 & 0 & 0 \end{pmatrix}, \delta_{1i}^a = \begin{pmatrix} 1 & 0 & 0 \\ 0 & 1 & 0 \\ 0 & 0 & 1 \\ 0 & 0 & 0 \\ 0 & 0 & 0 \\ 0 & 0 & 0 \\ \cdot & \cdot & \cdot \\ 0 & 0 & 0 \end{pmatrix}$$

$$A_i^a = \delta_{1i}^a U_1 + \delta_{2i}^a U_2 + \tilde{A}_i^a$$

Уравнение для U_1 с учётом обратного влияния

Нет членов $U_1^n \times U_2^m$



Различные ЯМ конденсаты не взаимодействуют напрямую

Смешанные члены вида ЯМ конденсат-волны описывают взаимодействие с U_2

$$\begin{aligned} & \partial_0 \partial_0 U_1 + 2g^2 U_1^3 + \frac{ig}{12} \sum_{\vec{p}} p f_{kbc} \left\langle 2n_i \tilde{A}_i^{b+} \tilde{A}_k^c - 2n_i \tilde{A}_i^b \tilde{A}_k^{c+} + n_i \tilde{A}_k^{c+} \tilde{A}_i^b - \right. \\ & \left. n_i \tilde{A}_k^c \tilde{A}_i^{b+} + n_k \tilde{A}_i^{b+} \tilde{A}_i^c - n_k \tilde{A}_i^b \tilde{A}_i^{c+} \right\rangle + \frac{g^2}{12} U_1 \sum_{\vec{p}} \left\langle f_{kbi} f_{bde} (\tilde{A}_i^d \tilde{A}_k^{e+} + \tilde{A}_i^{d+} \tilde{A}_k^e) + \right. \\ & \left. f_{kbc} f_{bdk} (\tilde{A}_i^d \tilde{A}_i^{c+} + \tilde{A}_i^{d+} \tilde{A}_i^c) + f_{kbc} f_{bie} (\tilde{A}_k^e \tilde{A}_i^{c+} + \tilde{A}_k^{e+} \tilde{A}_i^c) \right\rangle + \\ & \left. \frac{g^2}{12} U_2 \sum_{\vec{p}} \left\langle f_{kb(i+3)} f_{bde} (\tilde{A}_i^d \tilde{A}_k^{e+} + \tilde{A}_i^{d+} \tilde{A}_k^e) + f_{kbc} f_{bd(k+3)} (\tilde{A}_i^d \tilde{A}_i^{c+} + \tilde{A}_i^{d+} \tilde{A}_i^c) + \right. \right. \\ & \left. \left. f_{kbc} f_{b(i+3)e} (\tilde{A}_k^e \tilde{A}_i^{c+} + \tilde{A}_k^{e+} \tilde{A}_i^c) \right\rangle = 0. \end{aligned}$$

Различные ЯМ конденсаты взаимодействуют только за счёт обмена частицами.

SU(3) модель в вакуумном приближении

SU(3) группа содержит три пересекающиеся SU(2) подгруппы:

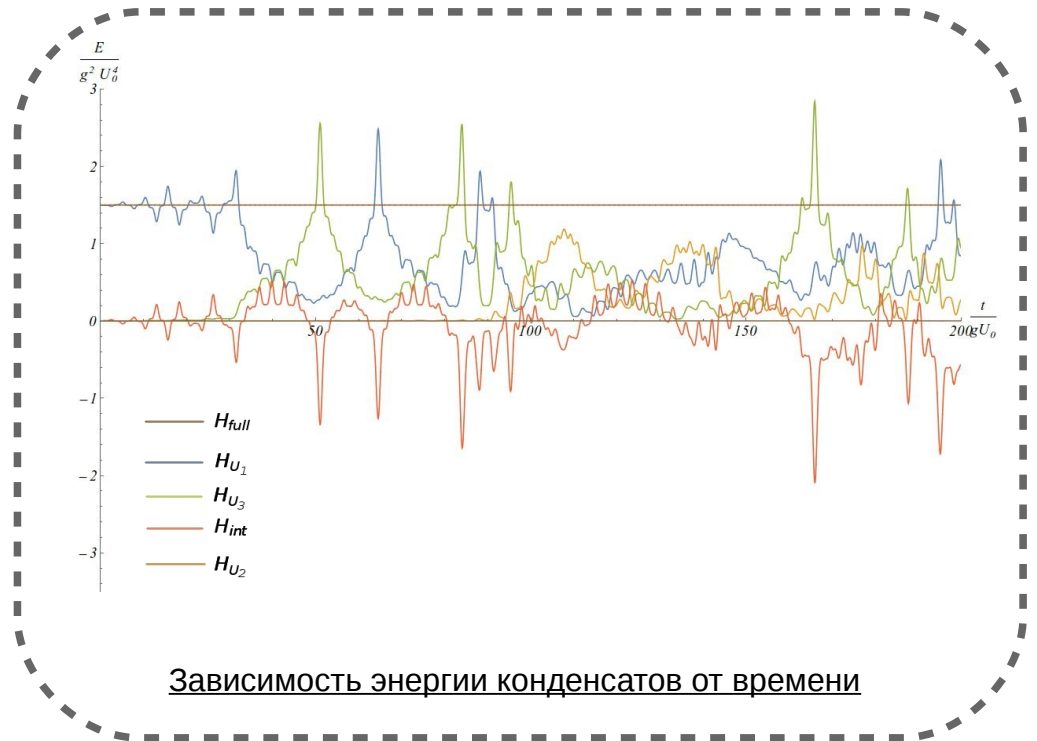
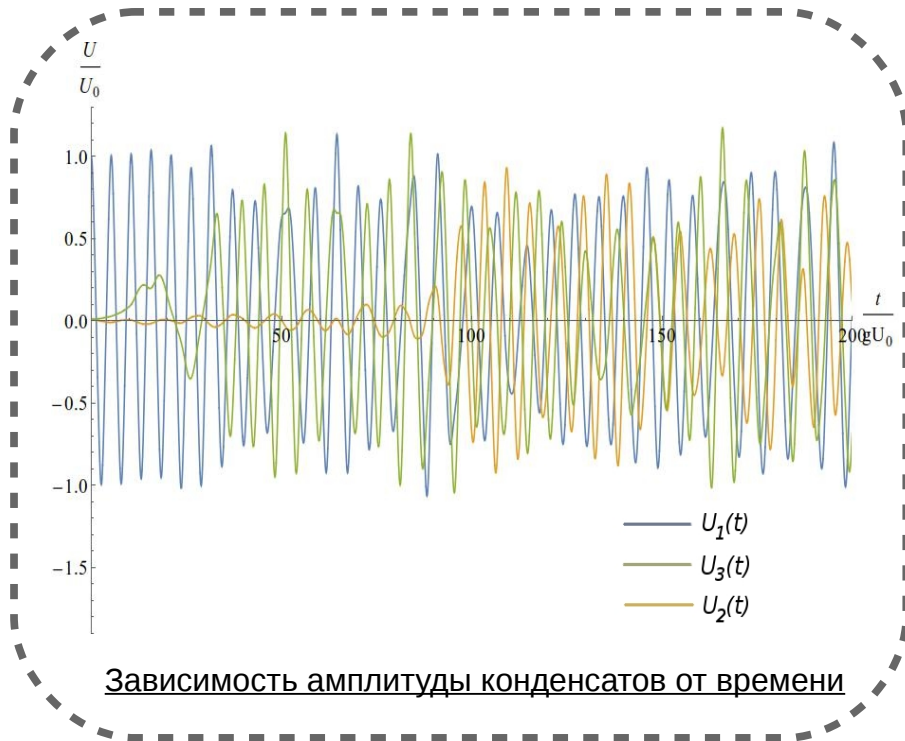
подгруппы:

Applications of the Theory of Groups in Mechanics and Physics, Fundamental Theories of Physics, Vol. 140, Teodorescu, Petre P., Nicorovici, Nicolae-A.P. 2004, XIV, 446 p.

$$A_i^a = \delta_{(1)i}^a U_1(t) + \delta_{(2)i}^a U_2(t) + \delta_{(3)i}^a U_3(t) + \tilde{A}_i^a$$

$$U_1''(t) + 2g^2 U_1(t)^3 - \frac{1}{2}g^2 U_1(t)U_2(t)U_3(t) + \frac{23}{28}g^2 U_1(t)^2 U_2(t) + \frac{25}{28}g^2 U_1(t)U_2(t)^2 - \frac{29}{28}g^2 U_1(t)^2 U_3(t) - \frac{5}{28}g^2 U_1(t)U_3(t)^2 - \frac{5}{28}g^2 U_2(t)U_3(t)^2 + \frac{5}{28}g^2 U_2(t)^2 U_3(t) = 0$$

Конденсаты взаимодействуют напрямую



Вакуум неизбежно расслаивается на три взаимодействующих напрямую конденсата, находящихся в динамическом равновесии друг с другом.

Обобщение на случай с нестационарным фоном

$ds^2 = a(\eta)^2(d\eta^2 - dx^2 - dy^2 - dz^2)$ - метрика Фридмана

Лагранжиан Супер ЯМ N=4 в произвольной метрике

$$\mathcal{L}\sqrt{-g_{\det}} = \sqrt{-g_{\det}} \left(-\frac{1}{4} F_{\mu\nu}^a F_{\lambda\theta}^a g^{\lambda\mu} g^{\theta\nu} + \frac{i}{2} \bar{\lambda}_{k'}^a \gamma_{\lambda} g^{\lambda\mu} D_{\mu} \lambda_{k'}^a + \frac{1}{2} (D_{\lambda} C_{(i)}^a)(D_{\mu} C_{(i)}^a) g^{\lambda\mu} \right. \\ \left. + \frac{1}{2} (D_{\lambda} B_{(i)}^a)(D_{\mu} B_{(i)}^a) g^{\lambda\mu} + \frac{1}{12} R C_{(i)}^a C_{(i)}^a + \frac{1}{12} R B_{(i)}^a B_{(i)}^a \right)$$

Дополнительные члены, обеспечивающие конформную симметрию

Перемасштабирование: $A_{\mu} = A_{\mu}^M, \quad A^{\mu} = \frac{1}{a^2} A_M^{\mu}, \quad C_{(i)}^a = \frac{1}{a} C_{(i)}^{Ma}, \quad B_{(i)}^a = \frac{1}{a} B_{(i)}^{Ma}, \quad \lambda_{k'}^a = \frac{1}{a} \lambda_{k'}^{Ma}$

уравнение Фридмана:

$$\frac{3}{a^4} \left(\frac{\partial a}{\partial \eta} \right)^2 = \frac{\kappa}{a^4} \langle T_0^{0M} \rangle, \quad \langle T_0^{0M} \rangle \equiv c = \text{const}$$

решение:

$$a = \sqrt{\frac{\kappa c}{3}} \eta, \quad t = \frac{1}{2} \sqrt{\frac{\kappa c}{3}} \eta^2$$

В силу конформной симметрии задача сводится к задаче со стационарным фоном:

$$\mathcal{L}\sqrt{-g_{\det}} = -\frac{1}{4} F_{\mu\nu}^{Ma} F_{Ma}^{\mu\nu} + \frac{i}{2} \bar{\lambda}_{k'}^{Ma} \gamma^{\mu} D_{\mu} \lambda_{k'}^{Ma} + \frac{1}{2} (D^{\mu} C_{(i)}^{Ma})(D_{\mu} C_{(i)}^{Ma}) \\ + \frac{1}{2} (D^{\mu} B_{(i)}^{Ma})(D_{\mu} B_{(i)}^{Ma}),$$

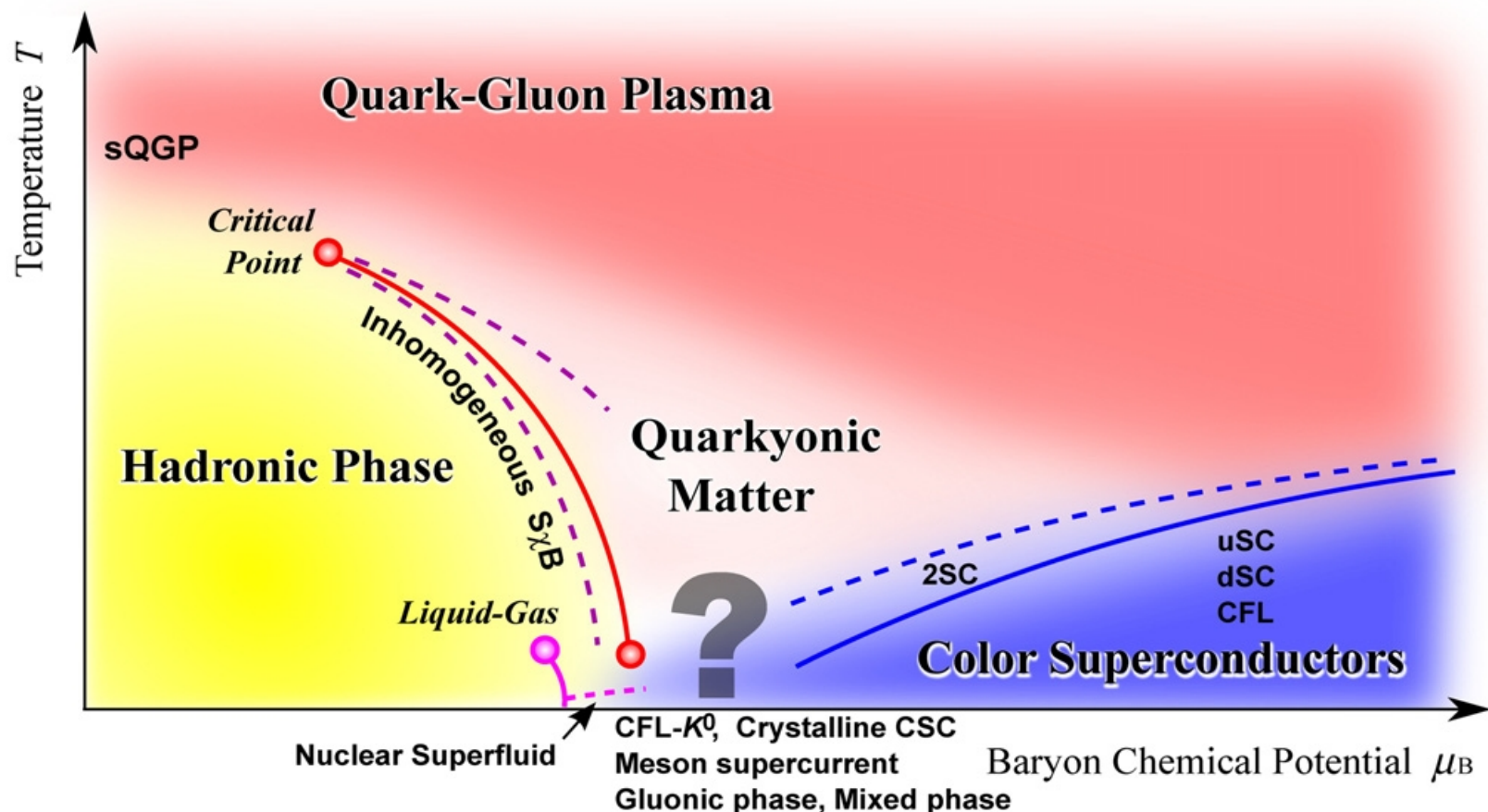
Время распада конденсата:

$$\Delta\eta = \frac{\alpha}{gU_0} \quad \Delta t \simeq \sqrt{\frac{\kappa}{8}} \frac{\alpha^2}{g} \quad \alpha \sim 10$$

Нестационарность метрики отражается только на связи физического времени с конформным

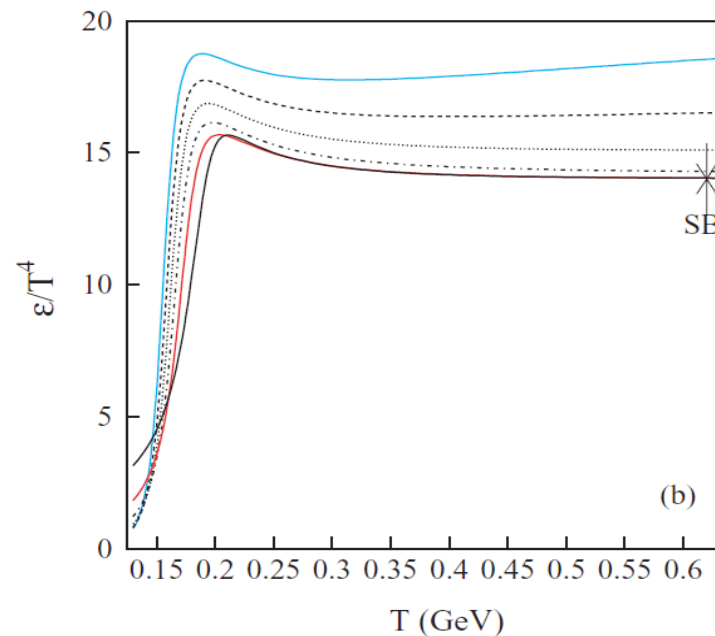
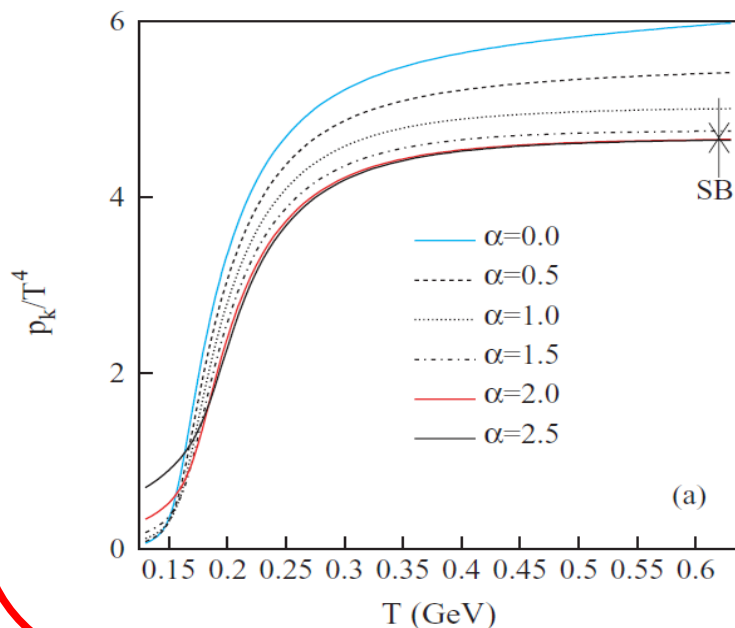
КХД кроссовер в ранней вселенной и компенсация энергии вакуума: фазовая диаграмма

КХД переход в ранней вселенной имел вид не фазового перехода первого или второго рода, а гладкого кроссовера (Y. Aoki, G. Endrodi, Z. Fodor, S. D. Katz and K. K. Szabo, *Nature* 443, 675, 2006).



КХД кроссовер и энергия вакуума

Результаты теории, основанной на модели мешков:



Энергия вакуума:

квантово-топологический
вклад в энергию вакуума

$$-(5 \pm 1) \times 10^9 \text{ MeV}^4$$

коллапс

искусственно вводимый
положительный Лямбда-член

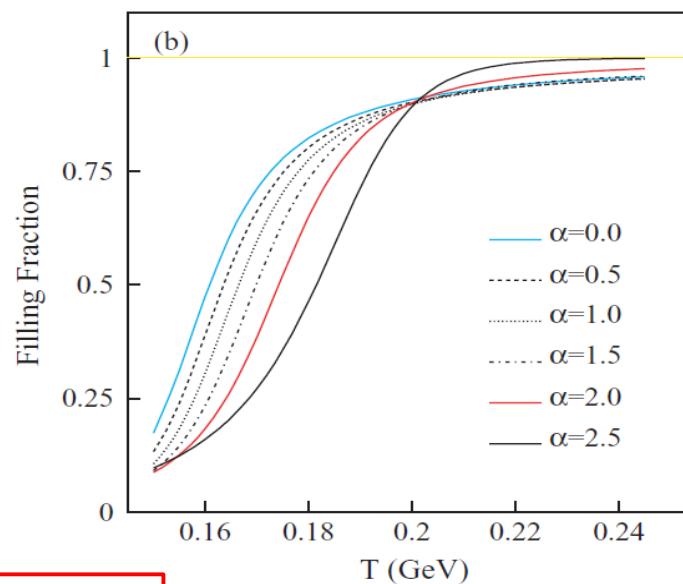
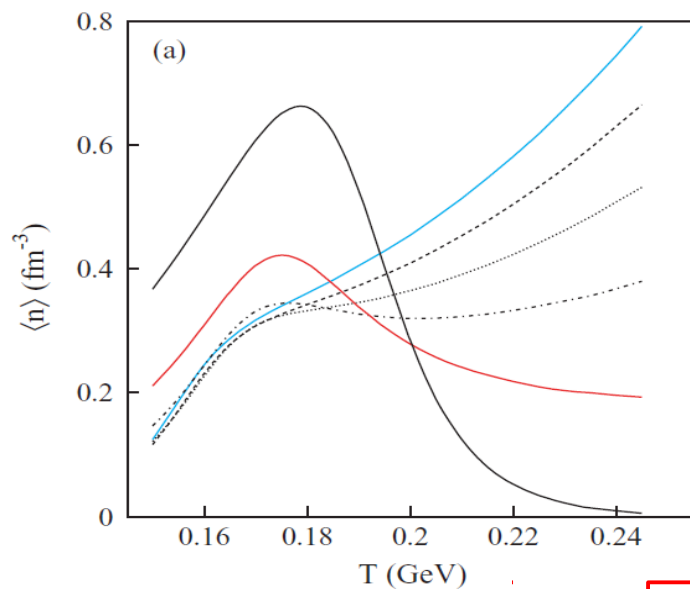
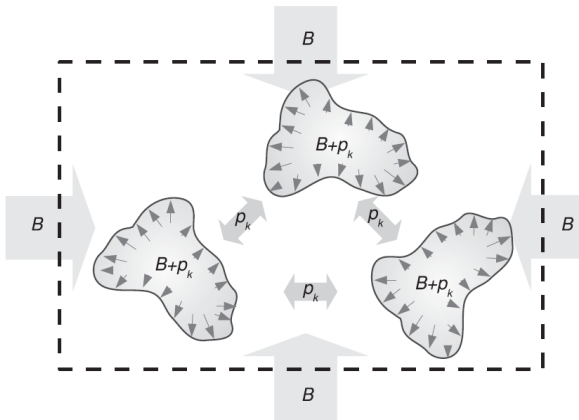
компенсация за счёт положительного
вклада ЯМ конденсата

Теория, основанная на модели мешков

Авторы

- L. Ferroni, V. Koch. Crossover transition in bag-like models. *Phys.Rev.C79:034905,2009. arXiv:0812.1044 [nucl-th]*

адроны - мешки с КГП



Один бесконечно-большой мешок в состоянии КГП и много маленьких мешков в адронном состоянии

Теория, основанная на модели мешков

$$\epsilon_{bag} = T \frac{\partial p_{bag}}{\partial T} - p_{bag}$$

← первый закон термодинамики

$$p_{bag} = sT + B$$

← квантово-топологический вакуум

$$\hat{Z}(T, s) = \infty \Leftrightarrow s - f(T, s) = 0$$

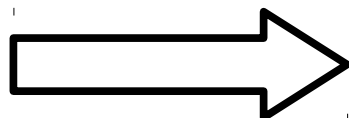
← изобарическая функция распределения

$$f(T, s) = c_0 \left(\frac{T}{2\pi}\right)^{\frac{3}{2}} \int_{m_c}^{\infty} d\eta \left(\frac{3}{4}\eta + B \frac{\eta}{4(B+sT)}\right)^{\frac{3}{2}-\alpha} e^{\frac{\eta}{k(B+sT)^{1/4}} - \frac{\eta}{T}}$$

$$\alpha = 2.3, c_0 = 3642 (MeV)^{\alpha-1}, B^{1/4} = 250, k = 0.68, m_c = 139 MeV$$

значения констант

замкнутая
система
уравнений

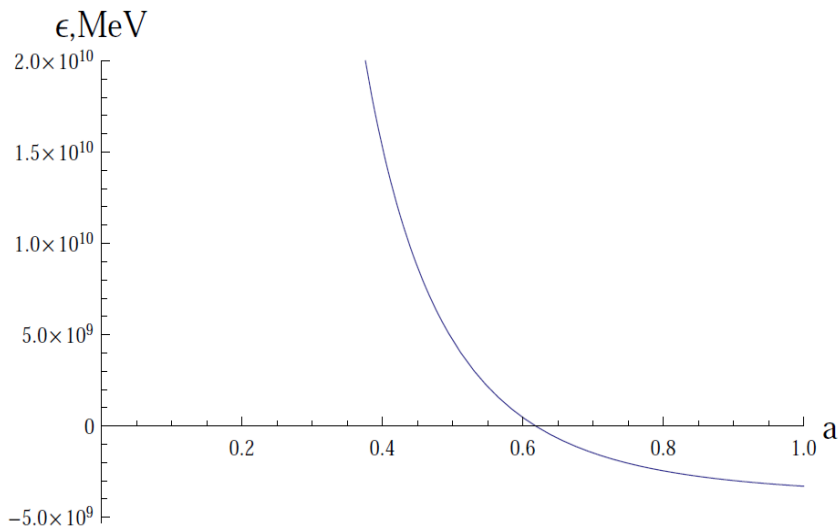


термодинамика
КХД-материи

Коллапс и лямбда-член

Уравнения Эйнштейна:

$$3 \frac{(da/dt)^2}{a^2} = \kappa \epsilon_{full} \quad \left\{ \begin{array}{l} \text{уравнение Фридмана} \\ \text{закон сохранения энергии} \end{array} \right.$$
$$\frac{d}{dt}(\epsilon_{full} a^4) - \frac{da}{dt} a^3 (\epsilon_{full} - 3p_{full}) = 0$$



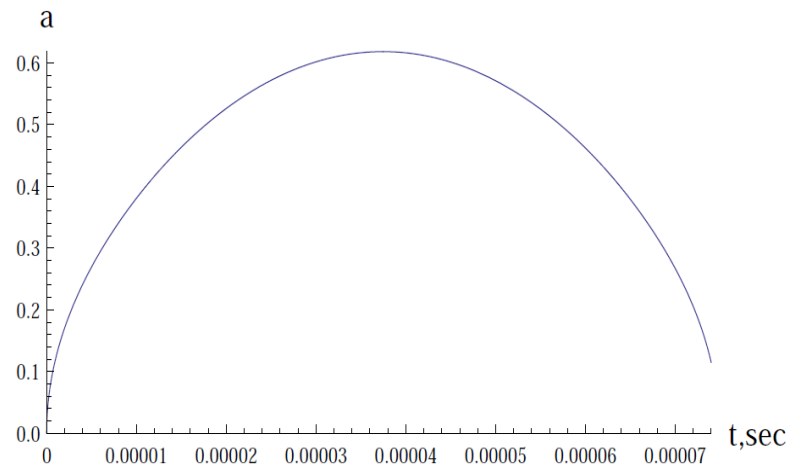
плотность энергии как функция масштабного фактора

Вклад лямбда-члена:

$$\left. \begin{array}{l} \epsilon_{\Lambda} = B \\ p_{\Lambda} = -B \end{array} \right\} \begin{array}{l} \text{включен с целью} \\ \text{компенсации энергии} \\ \text{вакуума} \end{array}$$

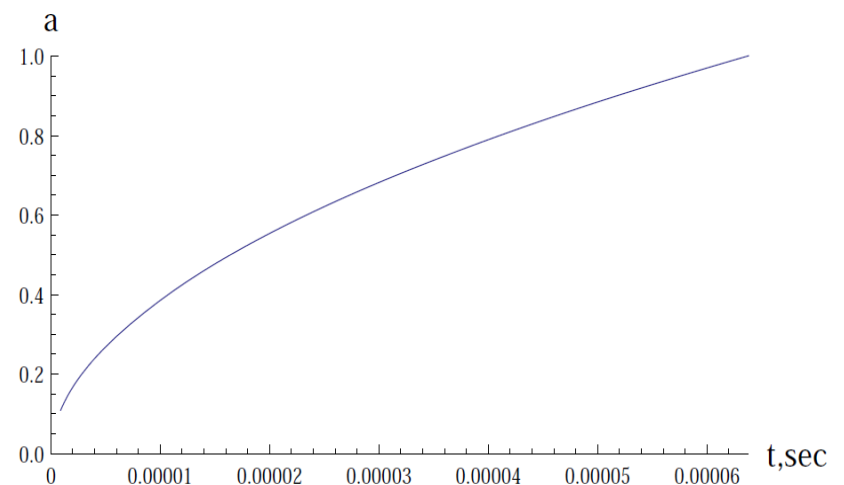
отрицательное давление

Без лямбда-члена



Происходит коллапс

С учётом лямбда-члена



Нет коллапса

Основные результаты

Динамика системы с ЯМ конденсатом:

- Показано существование новых эффектов рождения частиц из ЯМ конденсата и возбуждения продольных колебаний в ЯМ плазме.
- Начато построение квази-классической теории и проведено каноническое квантование всех волновых мод в суперсимметричной $N=4$ модели.
- Исследована система с несколькими непересекающимися конденсатами на примере $SU(4)$ группы.
- Показано, что в случае $SU(3)$ группы вакуум расслаивается на три конденсата полей Янга-Миллса, существующих в динамическом равновесии друг с другом.
- Проведено обобщение на случай фридмановской метрики.

Космологический КХД-переход:

- Теория, основанная на модели мешков, была приложена к описанию эволюции ранней вселенной в области КХД-перехода в рамках подхода с искусственно вводимым лямбда-членом.

Будущие задачи

- Второе решение с большими волнами и маленьким конденсатом.
- $SU(3)$ модель с волнами, кварки и эффекты вакуумной поляризации – случай реалистичной КХД.
- Полная квантовая теория конденсата и волн.
- Термодинамическая теория КХД кроссовера.
- Космологическая эволюция с ранних времён, КХД кроссовер, компенсация вакуумных вкладов в ранней вселенной.
- Калибровочная инфляция.
- Вакуумная динамика и компенсация вакуумных вкладов на коротких расстояниях.

Спасибо за внимание

$$\tilde{A}_{ik} = \psi_{ik} + e_{ikl}\chi_l$$

$$\chi_l^{\vec{p}} = s_l^\sigma \eta_\sigma^{\vec{p}} + n_l \lambda^{\vec{p}}$$

$$\psi_{ik}^{\vec{p}} = \psi_\lambda^{\vec{p}} Q_{ik}^\lambda + \varphi_\sigma^{\vec{p}} (n_i s_k^\sigma + n_k s_i^\sigma) + (\delta_{ik} - n_i n_k) \Phi^{\vec{p}} + n_i n_k \Lambda^{\vec{p}}$$

$$\partial_0 \partial_0 \psi_\lambda + p^2 \psi_\lambda + igp U Q^{\lambda\gamma} \psi_\gamma = 0$$

$$\partial_0 \partial_0 \Lambda + 2igp \lambda U + 2g^2 U^2 (2\Phi + \Lambda) = 0,$$

$$\partial_0 \partial_0 \Phi + p^2 \Phi + 2igp \lambda U + 2g^2 U^2 (2\Phi + \Lambda) = 0,$$

$$\partial_0 \partial_0 \lambda + p^2 \lambda - igp (2\Phi + \Lambda) U + 2g^2 U^2 \lambda = 0,$$

$$\partial_0 \partial_0 \phi_\sigma + \frac{p^2}{2} \phi_\sigma - \frac{p^2}{2} e^{\sigma\gamma} \eta_\gamma - igp U e^{\gamma\sigma} \phi_\gamma = 0,$$

$$\partial_0 \partial_0 \eta_\sigma + \frac{p^2}{2} \eta_\sigma - \frac{p^2}{2} e^{\gamma\sigma} \phi_\gamma + igp U e^{\gamma\sigma} \eta_\gamma + 2g^2 U^2 \eta_\sigma = 0$$

$$U \simeq U_0 \cos(\omega t + \phi_0)$$

$$\omega = kgU_0$$

$$k = \frac{2\pi}{B(\frac{1}{4}, \frac{1}{2})} \simeq 1.2$$

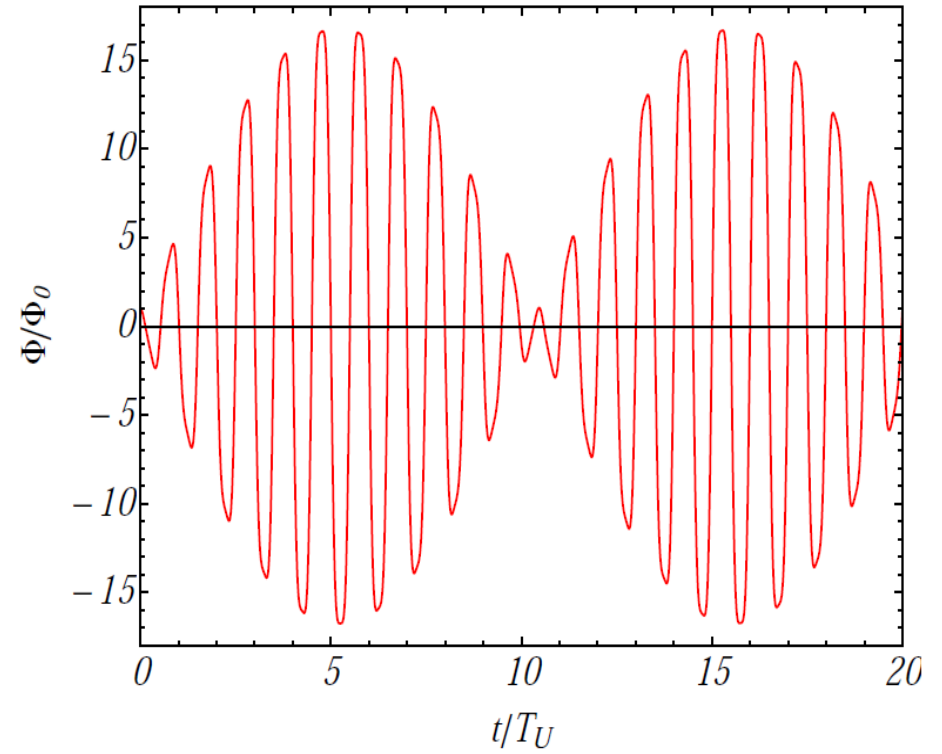
$$E_n = \tilde{E}_n \frac{g^{2/3}}{3^{1/3}}$$

$$\psi_1 \equiv \psi'_1 + \psi'_2, \quad \psi_2 \equiv i(\psi'_1 - \psi'_2)$$

$$\mathcal{H}_U = \frac{3}{2} (\partial_0 U \partial_0 U + g^2 U^4)$$

$$\mathcal{H}_{\text{particles}} = \frac{1}{2} \sum_{\vec{p}} \left(\partial_0 \Phi \partial_0 \Phi^+ + \frac{1}{2} \partial_0 \Lambda \partial_0 \Lambda^+ + \partial_0 \lambda \partial_0 \lambda^+ + \right. \\ \left. p^2 \Phi \Phi^+ + p^2 \lambda \lambda^+ \right)$$

$$\mathcal{H}_{\text{int}} = \frac{1}{2} \sum_{\vec{p}} \left[g^2 U^2 \left(\lambda \lambda^+ + 2\Phi \Phi^+ + \frac{1}{2} \Lambda \Lambda^+ + \Phi \Lambda^+ + \Lambda \Phi^+ \right) + \right. \\ \left. igp U \left(\frac{1}{2} \lambda \Lambda^+ - \frac{1}{2} \Lambda \lambda^+ + \lambda \Phi^+ - \Phi \lambda^+ \right) \right]$$



$$\langle \tilde{A}_{lk}(x', t') \tilde{Y}_{lk}(x, t) \rangle = 0$$

$$\langle \psi_1 \psi_2 \psi_3 \psi_4 \rangle = \langle \psi_1 \psi_2 \rangle \langle \psi_3 \psi_4 \rangle + \langle \psi_1 \psi_3 \rangle \langle \psi_2 \psi_4 \rangle + \langle \psi_1 \psi_4 \rangle \langle \psi_2 \psi_3 \rangle$$

$$\mathcal{L} = -\frac{1}{4} F_{\mu\nu}^a F_a^{\mu\nu} + i \bar{q}_f \gamma^\mu \left(\partial_\mu q_f - \frac{i}{2} g A_\mu^a \lambda^a q_f \right) - m_f \bar{q}_f q_f$$

$$\partial_0 \partial_0 A_i^a - \partial_k \partial_k A_i^a + \partial_i \partial_k A_k^a = 0$$

$$\partial_0 \partial_0 A_{\vec{p}\lambda}^a + |\vec{p}|^2 A_{\vec{p}\lambda}^a = 0$$

$$D_{ff'}(x - x') = \frac{\delta_{ff'}}{(2\pi)^4} \int (\gamma_\mu p^\mu + m_f) \frac{d^4 p}{p^2 - m_f^2 + i\epsilon} e^{-ip(x-x')}$$

$$\begin{aligned} \partial_0 \partial_0 \tilde{A}_k^a + p^2 \tilde{A}_k^a - p^2 n_k n_i \tilde{A}_i^a + 2igp U_1 f_{aic} n_i \tilde{A}_k^c + 2igp U_2 f_{a(i+3)c} n_i \tilde{A}_k^c + \\ igp U_1 f_{abk} n_i \tilde{A}_i^b + igp U_2 f_{ab(k+3)} n_i \tilde{A}_i^b + igp U_1 f_{abi} n_k \tilde{A}_i^b + igp U_2 f_{ab(i+3)} n_k \tilde{A}_i^b = 0 \end{aligned}$$

$$\begin{aligned}
\mathcal{L}_{\text{SUSY}} = & \frac{1}{2} \left\{ \partial_0 \psi_\lambda \partial_0 \psi_\lambda^+ + \partial_0 \phi_\sigma \partial_0 \phi_\sigma^+ + \partial_0 \Phi \partial_0 \Phi^+ + \frac{1}{2} \partial_0 \Lambda \partial_0 \Lambda^+ + \partial_0 \eta_\sigma \partial_0 \eta_\sigma^+ + \right. \\
& \partial_0 \lambda \partial_0 \lambda^+ - p^2 \psi_\lambda \psi_\lambda^+ - \frac{p^2}{2} \phi_\sigma \phi_\sigma^+ - p^2 \Phi \Phi^+ - \frac{p^2}{2} \eta_\sigma \eta_\sigma^+ - p^2 \lambda \lambda^+ + \\
& \frac{p^2}{2} e^{\gamma\sigma} (\eta_\sigma \phi_\gamma^+ + \phi_\gamma \eta_\sigma^+) - igpU e^{\sigma\gamma} \eta_\sigma \eta_\gamma^+ + igpU Q^{\lambda\gamma} \psi_\lambda \psi_\gamma^+ + \\
& igpU e^{\sigma\gamma} \phi_\sigma \phi_\gamma^+ + igpU (2\Phi \lambda^+ - 2\lambda \Phi^+ + \Lambda \lambda^+ - \lambda \Lambda^+) - \\
& 2g^2 U^2 \eta_\sigma \eta_\sigma^+ - 2g^2 U^2 \lambda \lambda^+ - g^2 U^2 (4\Phi \Phi^+ + 2\Phi \Lambda^+ + 2\Lambda \Phi^+ + \Lambda \Lambda^+) + \\
& \frac{1}{2} \partial_0 K_{(i)} \partial_0 K_{(i)}^+ + \frac{1}{2} \partial_0 M_{(i)\alpha} \partial_0 M_{(i)\alpha}^+ - \frac{1}{2} p^2 K_{(i)} K_{(i)}^+ - \frac{1}{2} p^2 M_{(i)\alpha} M_{(i)\alpha}^+ - \\
& igpU e^{\beta\alpha} M_{(i)\alpha} M_{(i)\beta}^+ - g^2 U^2 K_{(i)} K_{(i)}^+ - g^2 U^2 M_{(i)\alpha} M_{(i)\alpha}^+ + \\
& \frac{1}{2} \partial_0 K'_{(i)} \partial_0 K'_{(i)}^+ + \frac{1}{2} \partial_0 M'_{(i)\alpha} \partial_0 M'_{(i)\alpha}^+ - \frac{1}{2} p^2 K'_{(i)} K'_{(i)}^+ - \frac{1}{2} p^2 M'_{(i)\alpha} M'_{(i)\alpha}^+ - \\
& igpU e^{\beta\alpha} M'_{(i)\alpha} M'_{(i)\beta}^+ - g^2 U^2 K'_{(i)} K'_{(i)}^+ - g^2 U^2 M'_{(i)\alpha} M'_{(i)\alpha}^+ + \\
& \frac{i}{2} \bar{\vartheta}^{k'} \gamma_0 \partial_0 \vartheta^{k'} + \frac{i}{2} \bar{\zeta}_\alpha^{k'} \gamma_0 \partial_0 \zeta_\alpha^{k'} - \frac{p}{2} n_k \bar{\vartheta}^{k'} \gamma_k \vartheta^{k'} - \frac{p}{2} n_k \bar{\zeta}_\alpha^{k'} \gamma_k \zeta_\alpha^{k'} - \\
& \left. \frac{i}{2} gU e_{ilm} n_i s_m^\alpha \bar{\vartheta}^{k'} \gamma_l \zeta_\alpha^{k'} - \frac{i}{2} gU e_{ilm} n_m s_i^\alpha \bar{\zeta}_\alpha^{k'} \gamma_l \vartheta^{k'} - \frac{i}{2} gU e_{ilm} s_i^\alpha s_m^\beta \bar{\zeta}_\alpha^{k'} \gamma_l \zeta_\beta^{k'} \right\}
\end{aligned}$$

$$\begin{aligned}
\mathcal{H}_{\text{SUSY}} = & \frac{1}{2} \left\{ \partial_0 \psi_\lambda \partial_0 \psi_\lambda^+ + \partial_0 \phi_\sigma \partial_0 \phi_\sigma^+ + \partial_0 \Phi \partial_0 \Phi^+ + \frac{1}{2} \partial_0 \Lambda \partial_0 \Lambda^+ + \partial_0 \eta_\sigma \partial_0 \eta_\sigma^+ + \right. \\
& \partial_0 \lambda \partial_0 \lambda^+ + p^2 \psi_\lambda \psi_\lambda^+ + \frac{p^2}{2} \phi_\sigma \phi_\sigma^+ + p^2 \Phi \Phi^+ + \frac{p^2}{2} \eta_\sigma \eta_\sigma^+ + p^2 \lambda \lambda^+ + \\
& \frac{p^2}{2} e^{\gamma\sigma} (\eta_\sigma \phi_\gamma^+ + \phi_\gamma \eta_\sigma^+) + igp U e^{\sigma\gamma} \eta_\sigma \eta_\gamma^+ - igp U Q^{\lambda\gamma} \psi_\lambda \psi_\gamma^+ - \\
& igp U e^{\sigma\gamma} \phi_\sigma \phi_\gamma^+ - igp U (2\Phi \lambda^+ - 2\lambda \Phi^+ + \Lambda \lambda^+ - \lambda \Lambda^+) + \\
& 2g^2 U^2 \eta_\sigma \eta_\sigma^+ + 2g^2 U^2 \lambda \lambda^+ + g^2 U^2 (4\Phi \Phi^+ + 2\Phi \Lambda^+ + 2\Lambda \Phi^+ + \Lambda \Lambda^+) + \\
& \frac{1}{2} \partial_0 K_{(i)} \partial_0 K_{(i)}^+ + \frac{1}{2} \partial_0 M_{(i)\alpha} \partial_0 M_{(i)\alpha}^+ + \frac{1}{2} p^2 K_{(i)} K_{(i)}^+ + \frac{1}{2} p^2 M_{(i)\alpha} M_{(i)\alpha}^+ + \\
& igp U e^{\beta\alpha} M_{(i)\alpha} M_{(i)\beta}^+ + g^2 U^2 K_{(i)} K_{(i)}^+ + g^2 U^2 M_{(i)\alpha} M_{(i)\alpha}^+ + \\
& \frac{1}{2} \partial_0 K'_{(i)} \partial_0 K'_{(i)}^+ + \frac{1}{2} \partial_0 M'_{(i)\alpha} \partial_0 M'_{(i)\alpha}^+ + \frac{1}{2} p^2 K'_{(i)} K'_{(i)}^+ + \frac{1}{2} p^2 M'_{(i)\alpha} M'_{(i)\alpha}^+ + \\
& igp U e^{\beta\alpha} M'_{(i)\alpha} M'_{(i)\beta}^+ + g^2 U^2 K'_{(i)} K'_{(i)}^+ + g^2 U^2 M'_{(i)\alpha} M'_{(i)\alpha}^+ + \\
& \frac{p}{2} n_k \bar{\vartheta}^{k'} \gamma_k \vartheta^{k'} + \frac{p}{2} n_k \bar{\zeta}_\alpha^{k'} \gamma_k \zeta_\alpha^{k'} + \frac{i}{2} g U e_{ilm} n_i s_m^\alpha \bar{\vartheta}^{k'} \gamma_l \zeta_\alpha^{k'} + \\
& \left. \frac{i}{2} g U e_{ilm} n_m s_i^\alpha \bar{\zeta}_\alpha^{k'} \gamma_l \vartheta^{k'} + \frac{i}{2} g U e_{ilm} s_i^\alpha s_m^\beta \bar{\zeta}_\alpha^{k'} \gamma_l \zeta_\beta^{k'} \right\}.
\end{aligned}$$

$$\begin{aligned}
& \partial_0 \partial_0 U + 2g^2 U^3 + \frac{g^2}{6} U \sum_{\vec{p}} \left\langle 2\eta_\sigma \eta_\sigma^+ + 2\lambda \lambda^+ + 4\Phi \Phi^+ + \Lambda \Lambda^+ + 2\Phi \Lambda^+ + \right. \\
& 2\Lambda \Phi^+ + 2\eta_\sigma^+ \eta_\sigma + 2\lambda^+ \lambda + 4\Phi^+ \Phi + \Lambda^+ \Lambda + 2\Phi^+ \Lambda + 2\Lambda^+ \Phi \left. \right\rangle + \\
& \frac{ig}{12} \sum_{\vec{p}} p \left\langle 2\Lambda^+ \lambda - 2\Lambda \lambda^+ + 2\Phi^+ \lambda - 2\Phi \lambda^+ + 2\lambda \Phi^+ - 2\lambda^+ \Phi - \right. \\
& Q^{\lambda\sigma} (\psi_\lambda \psi_\sigma^+ - \psi_\lambda^+ \psi_\sigma) - e^{\sigma\gamma} (\phi_\sigma \phi_\gamma^+ - \phi_\sigma^+ \phi_\gamma) + \\
& \left. \phi_\sigma^+ \eta_\sigma - \phi_\sigma \eta_\sigma^+ + \eta_\sigma^+ \phi_\sigma - \eta_\sigma \phi_\sigma^+ + e^{\sigma\gamma} (\eta_\sigma \eta_\gamma^+ - \eta_\sigma^+ \eta_\gamma) \right\rangle + \\
& \frac{g^2}{6} U \sum_{\vec{p}} \left\langle K_{(i)} K_{(i)}^+ + K_{(i)}^+ K_{(i)} + M_{(i)\alpha}^+ M_{(i)\alpha} + M_{(i)\alpha} M_{(i)\alpha}^+ \right\rangle + \\
& \frac{ig}{12} \sum_{\vec{p}} p \left\langle e^{\alpha\beta} (M_{(i)\alpha}^+ M_{(i)\beta} - M_{(i)\alpha} M_{(i)\beta}^+) \right\rangle + \frac{g^2}{6} U \sum_{\vec{p}} \left\langle K'_{(i)} K'_{(i)}^+ + \right. \\
& K'_{(i)}^+ K'_{(i)} + M'_{(i)\alpha}^+ M'_{(i)\alpha} + M'_{(i)\alpha} M'_{(i)\alpha}^+ \left. \right\rangle + \frac{ig}{12} \sum_{\vec{p}} p \left\langle e^{\alpha\beta} (M'_{(i)\alpha}^+ M'_{(i)\beta} - \right. \\
& M'_{(i)\alpha} M'_{(i)\beta}^+) \left. \right\rangle - \frac{ig}{6} \sum_{\vec{p}} \left\langle e_{lmp} n_m s_p^\alpha \bar{\vartheta}^{k'} \gamma_l \zeta_\alpha^{k'} + \right. \\
& \left. e_{lmp} n_p s_m^\alpha \bar{\zeta}_\alpha^{k'} \gamma_l \vartheta^{k'} + e_{lmp} s_m^\alpha s_p^\beta \bar{\zeta}_\alpha^{k'} \gamma_l \zeta_\beta^{k'} \right\rangle = 0.
\end{aligned}$$

$$M_{aic'i'}^{\vec{q}}(t, t')$$

$$\begin{aligned}
&= -\frac{1}{8} \sum_{\vec{p}} \left[\left(\hat{a}_{\vec{q}-\vec{p}}^{acb'c'i'k} (2q_{k'} - p_{k'}) (q_k + p_k) \right. \right. \\
&\quad \left. \left. + \hat{a}_{\vec{q}-\vec{p}}^{acc'b'k'k} (q_{i'} - 2p_{i'}) (q_k + p_k) \right) \langle \tilde{A}_{ci}^{r\vec{p}}(t) \tilde{A}_{b'k'}^{\dagger r\vec{p}}(t') \rangle \right. \\
&\quad \left. + \left(\hat{a}_{\vec{q}+\vec{p}}^{acb'c'i'k} (2q_{k'} + p_{k'}) (q_k - p_k) + \hat{a}_{\vec{q}+\vec{p}}^{acc'b'k'k} (q_{i'} + 2p_{i'}) (q_k - p_k) \right) \langle \tilde{A}_{ci}^{\dagger r\vec{p}}(t) \tilde{A}_{b'k'}^{r\vec{p}}(t') \rangle \right. \\
&\quad \left. + \hat{a}_{\vec{q}-\vec{p}}^{acc'b'k'k} (q_{k'} - p_{k'}) (q_k + p_k) \langle \tilde{A}_{ci}^{r\vec{p}}(t) \tilde{A}_{b'i'}^{\dagger r\vec{p}}(t') \rangle \right. \\
&\quad \left. + \hat{a}_{\vec{q}+\vec{p}}^{acc'b'k'k} (q_{k'} + p_{k'}) (q_k - p_k) \langle \tilde{A}_{ci}^{\dagger r\vec{p}}(t) \tilde{A}_{b'i'}^{r\vec{p}}(t') \rangle \right. \\
&\quad \left. + \left(\hat{a}_{\vec{q}-\vec{p}}^{abb'c'i'k} (q_{k'} - p_{k'}) (q_i - 2p_i) + \hat{a}_{\vec{q}-\vec{p}}^{abc'b'k'i} (q_{i'} - p_{i'}) (2q_k - 3p_k) \right. \right. \\
&\quad \left. \left. + \hat{a}_{\vec{q}-\vec{p}}^{abc'b'k'k} (q_{i'} - 2p_{i'}) (q_i - 2p_i) + \hat{a}_{\vec{q}-\vec{p}}^{abc'b'i'i} (2q_{k'} - p_{k'}) (2q_k - 3p_k) \right) \langle \tilde{A}_{bk}^{r\vec{p}}(t) \tilde{A}_{b'k'}^{\dagger r\vec{p}}(t') \rangle \right. \\
&\quad \left. + \left(\hat{a}_{\vec{q}+\vec{p}}^{abb'c'i'k} (q_{k'} + p_{k'}) (q_i + 2p_i) + \hat{a}_{\vec{q}+\vec{p}}^{abc'b'k'i} (q_{i'} + p_{i'}) (2q_k + 3p_k) \right. \right. \\
&\quad \left. \left. + \hat{a}_{\vec{q}+\vec{p}}^{abc'b'k'k} (q_{i'} + 2p_{i'}) (q_i + 2p_i) + \hat{a}_{\vec{q}+\vec{p}}^{abc'b'i'i} (2q_{k'} + p_{k'}) (2q_k + 3p_k) \right) \langle \tilde{A}_{bk}^{\dagger r\vec{p}}(t) \tilde{A}_{b'k'}^{r\vec{p}}(t') \rangle \right. \\
&\quad \left. + \left(\hat{a}_{\vec{q}-\vec{p}}^{abc'b'k'i} (q_{k'} - p_{k'}) (2q_k - 3p_k) + \hat{a}_{\vec{q}-\vec{p}}^{abc'b'k'k} (q_{k'} - p_{k'}) (q_i - 2p_i) \right) \langle \tilde{A}_{bk}^{r\vec{p}}(t) \tilde{A}_{b'i'}^{\dagger r\vec{p}}(t') \rangle \right. \\
&\quad \left. + \left(\hat{a}_{\vec{q}+\vec{p}}^{abc'b'k'i} (q_{k'} + p_{k'}) (2q_k + 3p_k) \right. \right. \\
&\quad \left. \left. + \hat{a}_{\vec{q}+\vec{p}}^{abc'b'k'k} (q_{k'} + p_{k'}) (q_i + 2p_i) \right) \langle \tilde{A}_{bk}^{\dagger r\vec{p}}(t) \tilde{A}_{b'i'}^{r\vec{p}}(t') \rangle \right].
\end{aligned}$$

$$\hat{a}_{\vec{p}}^{acb'c'i'k} = \frac{1}{3} f_{abc} f_{bb'c'} \left(\frac{-g^2}{ip} e^{ip(t-t')} s_{i'}^\alpha s_k^\alpha + \frac{g^2}{ip} e^{ip(t'-t)} s_{i'}^\alpha s_k^\alpha + 2g^2 n_{i'} n_k(t' - t) \right)$$

$$\hat{a}_0^{acb'c'i'k} = \frac{2}{3} f_{abc} f_{bb'c'} g^2 \delta_{i'k}(t' - t).$$

$$\begin{aligned}
N_{aicl}^{\vec{p}\vec{q}}(t, t') &= \frac{1}{8} (2q_i \hat{a}_0^{acb'c'i'l} - 2\delta_{li} q_k \hat{a}_0^{acb'c'i'k} + q_l \hat{a}_0^{acb'c'i'i}) (2p_{k'} \langle \tilde{A}_{c'i'}^{r\vec{p}} \tilde{A}_{b'k'}^{r\vec{p}\dagger} \rangle \\
&\quad - 2p_{k'} \langle \tilde{A}_{c'i'}^{r\vec{p}\dagger} \tilde{A}_{b'k'}^{r\vec{p}} \rangle + p_{i'} \langle \tilde{A}_{b'k'}^{r\vec{p}} \tilde{A}_{c'k'}^{r\vec{p}\dagger} \rangle \\
&\quad - p_{i'} \langle \tilde{A}_{b'k'}^{r\vec{p}\dagger} \tilde{A}_{c'k'}^{r\vec{p}} \rangle + p_{k'} \langle \tilde{A}_{b'k'}^{r\vec{p}} \tilde{A}_{c'i'}^{r\vec{p}\dagger} \rangle - p_{k'} \langle \tilde{A}_{b'k'}^{r\vec{p}\dagger} \tilde{A}_{c'i'}^{r\vec{p}} \rangle),
\end{aligned}$$

$$\begin{aligned}
P_{aib'k'}^{\vec{q}}(t, t') &= 2q_l \delta_{k'i} \left(q_k \hat{a}_{\vec{q}}^{aklb'i'i} - \frac{1}{2} q_i \hat{a}_{\vec{q}}^{aklb'i'k} - \frac{1}{2} q_k \hat{a}_{\vec{q}}^{aib'i'k} \right) \\
&\quad + q_{i'} \left(q_k \hat{a}_{\vec{q}}^{akb'k'i'i} - \frac{1}{2} q_i \hat{a}_{\vec{q}}^{akb'k'i'k} - \frac{1}{2} q_k \hat{a}_{\vec{q}}^{aib'k'i'k} \right) \\
&\quad + q_{k'} \left(q_k \hat{a}_{\vec{q}}^{akb'i'i'i} - \frac{1}{2} q_i \hat{a}_{\vec{q}}^{akb'i'i'k} - \frac{1}{2} q_k \hat{a}_{\vec{q}}^{aib'i'i'k} \right).
\end{aligned}$$

$\nu_e, \nu_\mu, \nu_\tau, \bar{\nu}_e, \bar{\nu}_\mu, \bar{\nu}_\tau, e^+, e^-$ and γ

$$\epsilon_{\nu e \gamma} = \frac{43\pi^2}{120} T^4$$

$$p_{\nu e \gamma} = \frac{\epsilon_{\nu e \gamma}}{3}$$

$$\epsilon_{bag1}(t) = \begin{cases} \epsilon_{bag}, & (t < t_0) \\ 0, & (t > t_0) \end{cases}$$

$$p_{bag1}(t) = \begin{cases} p_{bag}, & (t < t_0) \\ 0, & (t > t_0) \end{cases}$$

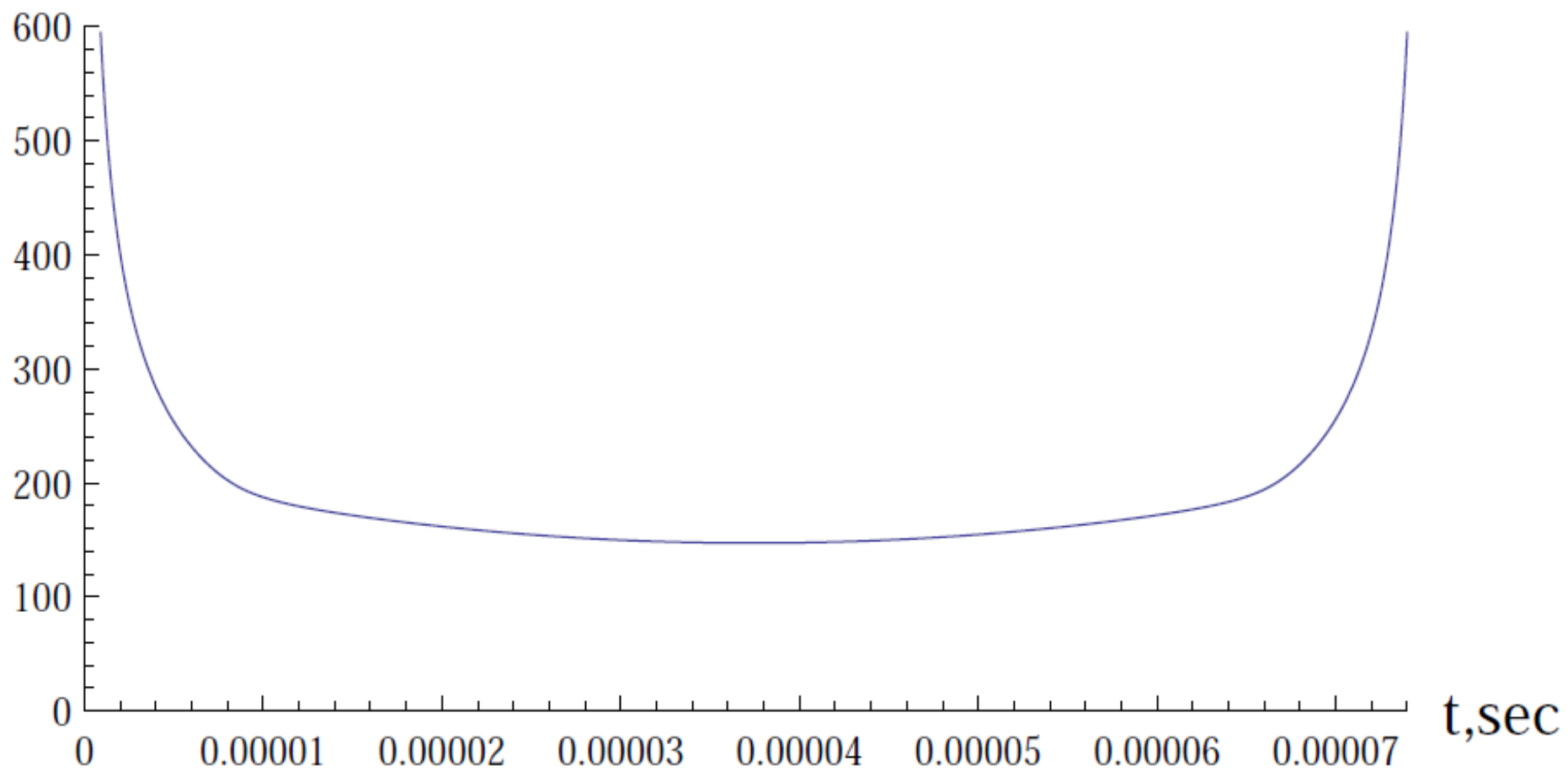
$$\epsilon_{e\nu\gamma1}(t) = \begin{cases} \epsilon_{e\nu\gamma}, & (t < t_0) \\ \epsilon_{e\nu\gamma} + \epsilon_{bag}, & (t > t_0) \end{cases}$$

$$p_{e\nu\gamma1}(t) = \frac{\epsilon_{e\nu\gamma1}}{3}$$

$$\epsilon_\mu = \frac{2}{\pi^2} \int_{m_\mu}^{\infty} \frac{\sqrt{\rho^2 - m_\mu^2} \rho^2 d\rho}{e^{\frac{\rho}{T}} + 1}$$

$$p_\mu = \frac{2}{3\pi^2} \int_{m_\mu}^{\infty} \frac{(\rho^2 - m_\mu^2)^{3/2} d\rho}{e^{\frac{\rho}{T}} + 1}$$

T, MeV



$$\begin{aligned}
\lambda_1 &= \begin{pmatrix} 0 & 1 & 0 \\ 1 & 0 & 0 \\ 0 & 0 & 0 \end{pmatrix} \lambda_2 = \begin{pmatrix} 0 & -i & 0 \\ i & 0 & 0 \\ 0 & 0 & 0 \end{pmatrix} \lambda_3 = \begin{pmatrix} 1 & 0 & 0 \\ 0 & -1 & 0 \\ 0 & 0 & 0 \end{pmatrix} \lambda_4 = \begin{pmatrix} 0 & 0 & 1 \\ 0 & 0 & 0 \\ 1 & 0 & 0 \end{pmatrix} \\
\lambda_5 &= \begin{pmatrix} 0 & 0 & -i \\ 0 & 0 & 0 \\ i & 0 & 0 \end{pmatrix} \lambda_6 = \begin{pmatrix} 0 & 0 & 0 \\ 0 & 0 & 1 \\ 0 & 1 & 0 \end{pmatrix} \lambda_7 = \begin{pmatrix} 0 & 0 & 0 \\ 0 & 0 & -i \\ 0 & i & 0 \end{pmatrix} \lambda_8 = \begin{pmatrix} \frac{1}{\sqrt{3}} & 0 & 0 \\ 0 & \frac{1}{\sqrt{3}} & 0 \\ 0 & 0 & -\frac{2}{\sqrt{3}} \end{pmatrix} \\
\delta_{(1)} &= \begin{pmatrix} 1 & 0 & 0 \\ 0 & 1 & 0 \\ 0 & 0 & 1 \\ 0 & 0 & 0 \\ 0 & 0 & 0 \\ 0 & 0 & 0 \\ 0 & 0 & 0 \\ 0 & 0 & 0 \end{pmatrix} \delta_{(2)} = \begin{pmatrix} 0 & 0 & 0 \\ 0 & 0 & 0 \\ 0 & 0 & \frac{1}{2} \\ 1 & 0 & 0 \\ 0 & 1 & 0 \\ 0 & 0 & 0 \\ 0 & 0 & 0 \\ 0 & 0 & \frac{\sqrt{3}}{2} \end{pmatrix} \delta_{(3)} = \begin{pmatrix} 0 & 0 & 0 \\ 0 & 0 & 0 \\ 0 & 0 & -\frac{1}{2} \\ 0 & 0 & 0 \\ 0 & 0 & 0 \\ 1 & 0 & 0 \\ 0 & 1 & 0 \\ 0 & 0 & \frac{\sqrt{3}}{2} \end{pmatrix}
\end{aligned}$$

$\lambda_1, \lambda_2, \lambda_3$

$\lambda_1, \lambda_2, \frac{1}{2}(\sqrt{3}\lambda_8 + \lambda_3)$

$\lambda_1, \lambda_2, \frac{1}{2}(\sqrt{3}\lambda_8 - \lambda_3)$

$$\begin{aligned}
H &= \frac{3}{2}U_1'(t)^2 + \frac{3}{2}g^2U_1(t)^4 + \frac{3}{2}U_2'(t)^2 + \frac{3}{2}g^2U_2(t)^4 + \frac{3}{2}U_3'(t)^2 + \frac{3}{2}g^2U_3(t)^4 - \\
&\frac{1}{2}g^2U_1(t)^2U_2(t)U_3(t) - \frac{1}{2}g^2U_1(t)U_2(t)U_3(t)^2 + \frac{1}{2}g^2U_1(t)U_2(t)^2U_3(t) + g^2U_1(t)^3U_2(t) + \\
&\frac{3}{2}g^2U_1(t)^2U_2(t)^2 + g^2U_1(t)U_2(t)^3 - g^2U_1(t)^3U_3(t) - g^2U_1(t)U_3(t)^3 + g^2U_2(t)U_3(t)^3 + \\
&\frac{3}{2}g^2U_2(t)^2U_3(t)^2 + g^2U_2(t)^3U_3(t) + \frac{1}{2}U_1'(t)U_2'(t) - \frac{1}{2}U_1'(t)U_3'(t) + \frac{1}{2}U_2'(t)U_3'(t)
\end{aligned}$$

$$\begin{aligned}
&U_1''(t) + 2g^2U_1(t)^3 - \frac{1}{2}g^2U_1(t)U_2(t)U_3(t) + \frac{23}{28}g^2U_1(t)^2U_2(t) + \frac{25}{28}g^2U_1(t)U_2(t)^2 - \\
&\frac{29}{28}g^2U_1(t)^2U_3(t) - \frac{5}{28}g^2U_1(t)U_3(t)^2 - \frac{5}{28}g^2U_2(t)U_3(t)^2 + \frac{5}{28}g^2U_2(t)^2U_3(t) = 0
\end{aligned}$$

$$\begin{aligned}
&U_2''(t) + 2g^2U_2(t)^3 + \frac{1}{2}g^2U_1(t)U_2(t)U_3(t) + \frac{23}{28}g^2U_1(t)U_2(t)^2 + \frac{25}{28}g^2U_1(t)^2U_2(t) + \\
&\frac{1}{28}g^2U_1(t)U_3(t)^2 + \frac{1}{28}g^2U_1(t)^2U_3(t) + \frac{23}{28}g^2U_2(t)^2U_3(t) + \frac{25}{28}g^2U_2(t)U_3(t)^2 = 0
\end{aligned}$$

$$\begin{aligned}
&U_3''(t) + 2g^2U_3(t)^3 - \frac{1}{2}g^2U_1(t)U_2(t)U_3(t) + \frac{5}{28}g^2U_1(t)U_2(t)^2 - \frac{5}{28}g^2U_1(t)^2U_2(t) - \\
&\frac{29}{28}g^2U_1(t)U_3(t)^2 - \frac{5}{28}g^2U_1(t)^2U_3(t) + \frac{23}{28}g^2U_2(t)U_3(t)^2 + \frac{25}{28}g^2U_2(t)^2U_3(t) = 0
\end{aligned}$$

$$\begin{aligned}
& \partial_0 \partial_0 \tilde{A}_{ai} - \partial_k \partial_k \tilde{A}_{ai} + \partial_i \partial_k \tilde{A}_{ak} \\
& + 2g f_{abc} \partial_k \tilde{A}_{ci} \tilde{A}_{bk} + g f_{abc} \partial_i \tilde{A}_{bk} \tilde{A}_{ck} + g f_{abc} \partial_k \tilde{A}_{bk} \tilde{A}_{ci} \\
& \quad + g^2 f_{cba} f_{cb'c'} (\tilde{A}_{bk} m_{c'i}^{b'k} + \tilde{A}_{b'k} m_{c'i}^{bk} + \tilde{A}_{c'i} m_{b'k}^{bk}) = 0
\end{aligned}$$

$$\tilde{A}_{ai} = \tilde{A}_{ai}^r + \tilde{A}_{ai}^v$$

$$\partial_0 \partial_0 \tilde{A}_{ai}^r - \partial_k \partial_k \tilde{A}_{ai}^r + \partial_i \partial_k \tilde{A}_{ak}^r = 0$$

$$\begin{aligned}
& \partial_0 \partial_0 \tilde{A}_{ai}^v - \partial_k \partial_k \tilde{A}_{ai}^v + \partial_i \partial_k \tilde{A}_{ak}^v \\
& \quad + 2g f_{abc} \partial_k \tilde{A}_{ci}^r \tilde{A}_{bk}^r + g f_{abc} \partial_i \tilde{A}_{bk}^r \tilde{A}_{ck}^r + g f_{abc} \partial_k \tilde{A}_{bk}^r \tilde{A}_{ci}^r = 0
\end{aligned}$$

$$\begin{aligned}
& \partial_0 \partial_0 \tilde{A}_{ai}^r + \partial_0 \partial_0 \tilde{A}_{ai}^v - \partial_k \partial_k \tilde{A}_{ai}^r - \partial_k \partial_k \tilde{A}_{ai}^v + \partial_i \partial_k \tilde{A}_{ak}^r + \partial_i \partial_k \tilde{A}_{ak}^v \\
& \quad + 2g f_{abc} \partial_k \tilde{A}_{ci}^r \tilde{A}_{bk}^r + 2g f_{abc} \partial_k \tilde{A}_{ci}^r \tilde{A}_{bk}^v + 2g f_{abc} \partial_k \tilde{A}_{ci}^v \tilde{A}_{bk}^r + g f_{abc} \partial_i \tilde{A}_{bk}^r \tilde{A}_{ck}^r \\
& \quad + g f_{abc} \partial_i \tilde{A}_{bk}^r \tilde{A}_{ck}^v + g f_{abc} \partial_i \tilde{A}_{bk}^v \tilde{A}_{ck}^r + g f_{abc} \partial_k \tilde{A}_{bk}^r \tilde{A}_{ci}^r + g f_{abc} \partial_k \tilde{A}_{bk}^r \tilde{A}_{ci}^v \\
& \quad + g f_{abc} \partial_k \tilde{A}_{bk}^v \tilde{A}_{ci}^r + g^2 f_{cba} f_{cb'c'} (\tilde{A}_{bk}^r m_{c'i}^{b'k} + \tilde{A}_{b'k}^r m_{c'i}^{bk} + \tilde{A}_{c'i}^r m_{b'k}^{bk}),
\end{aligned}$$